Mescolamento magnetico in stelle AGB e grani presolari

Diego Vescovi^{1,2,3}

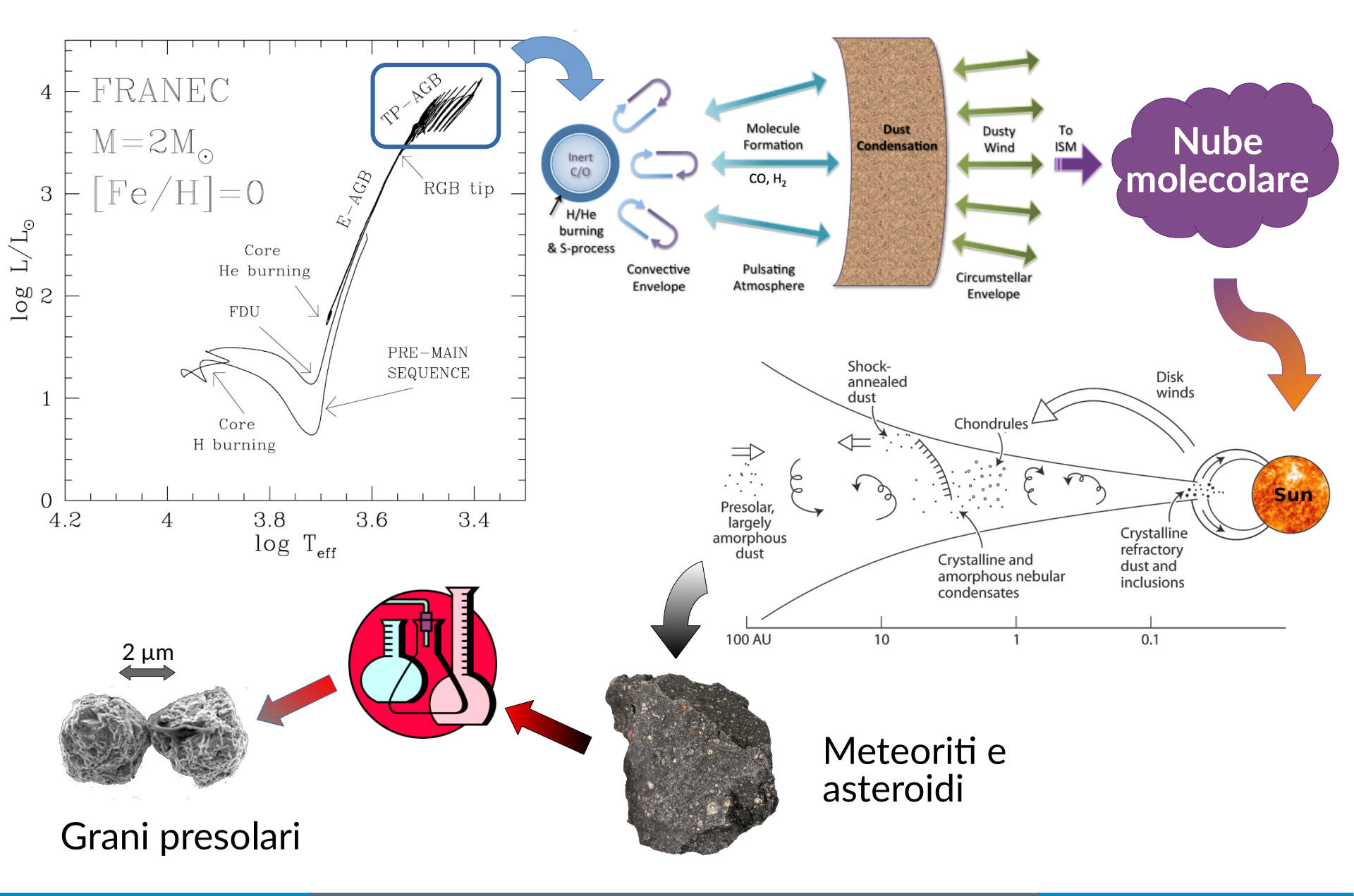
- 1. Gran Sasso Science Institute (GSSI), L'Aquila, Italia
 - 2. INFN Sezione di Perugia, Perugia, Italia
- 3. INAF Osservatorio Astronomico d'Abruzzo, Teramo, Italia



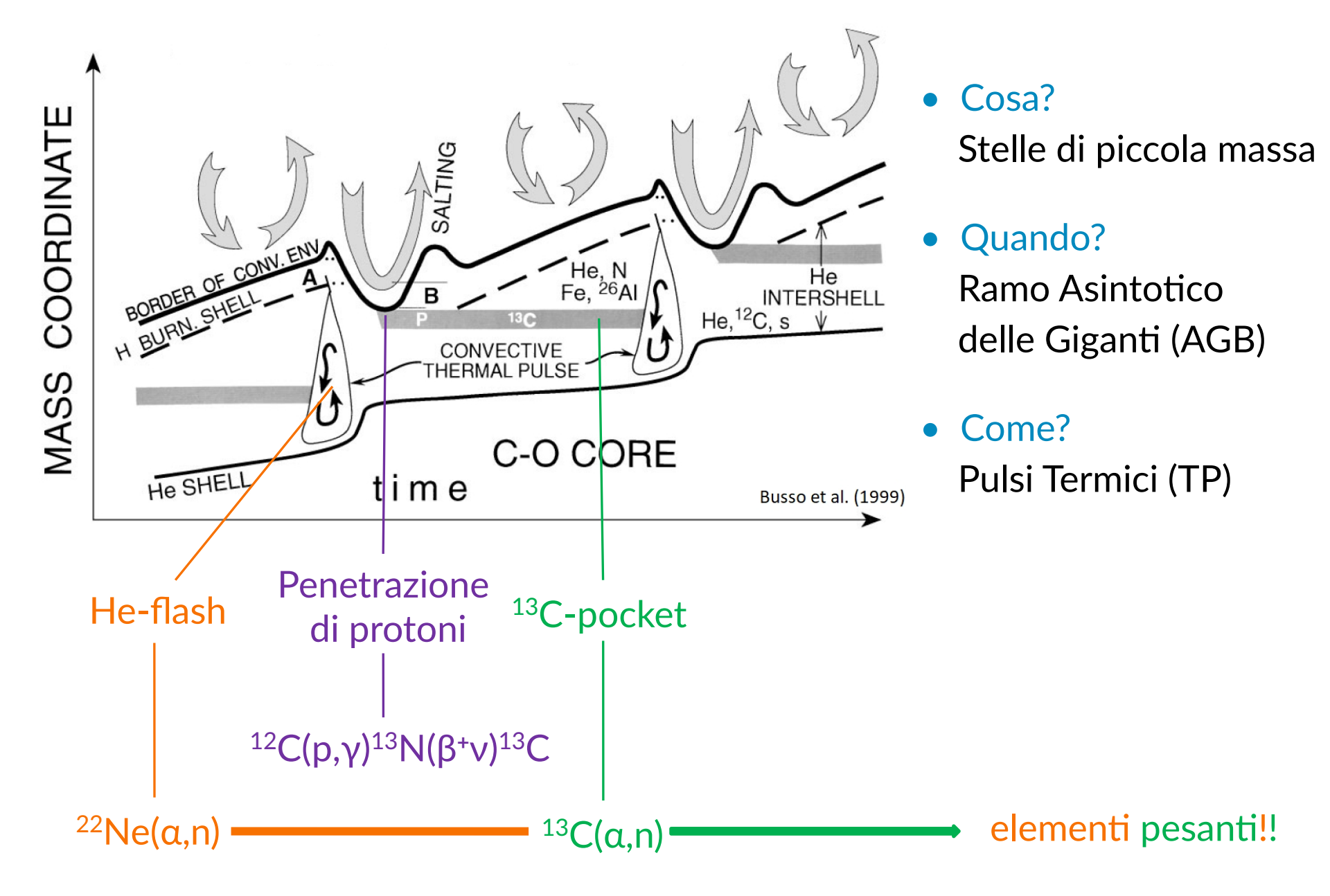




Stelle AGB e grani presolari



Combustione di H e He in stelle TP-AGB



La "tasca" di ¹³C: formazione

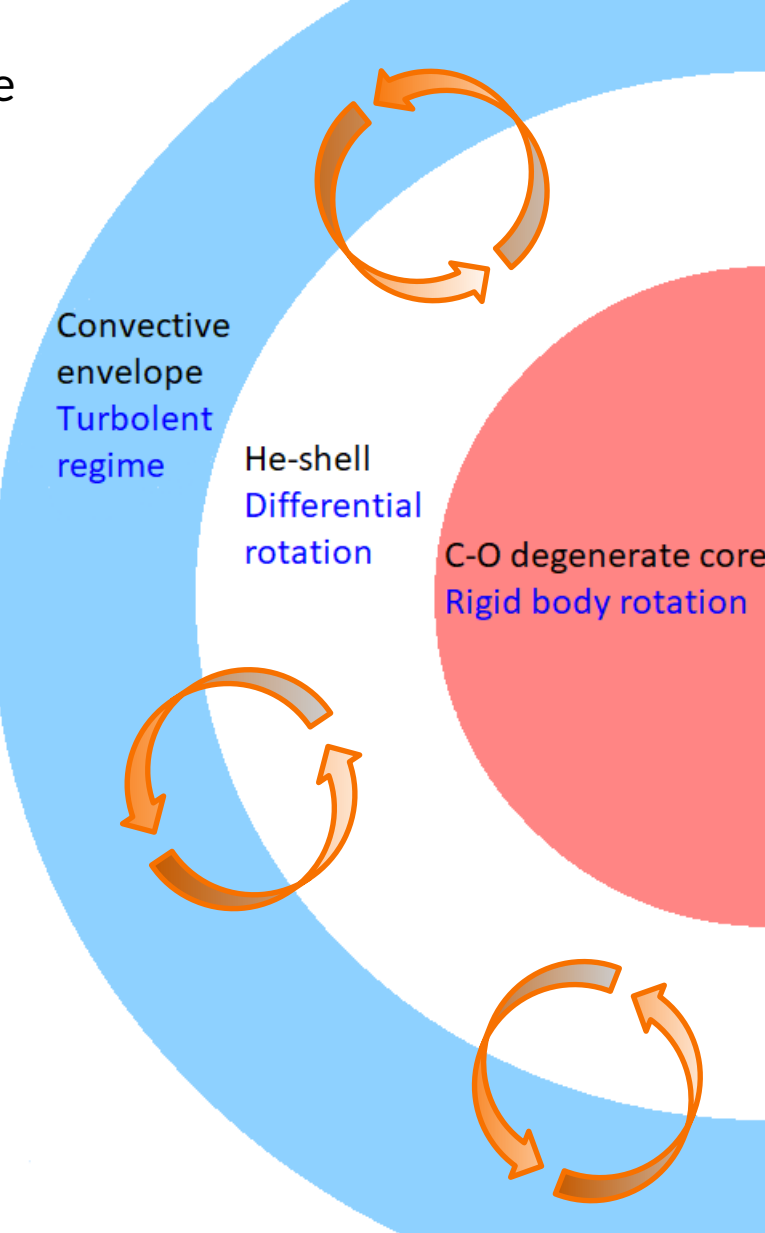
 I protoni possono penetrare nella regione ricca di He ad ogni fenomeno di Terzo Dredge-Up (TDU)

Qual è il meccanismo fisico?

I modelli classici **assumono** la formazione di una tasca di ¹³C

Alcuni approcci fisici recenti:

- Opacity induced overshoot (Cristallo+ 2009, 2011, 2015)
- Convective Boundary Mixing (Battino+ 2016)
- Campi magnetici (Trippella+ 2016; Palmerini+ 2018)
 - meccanismo di tipo bottom-up attraverso la galleggiamento magnetico
- 1) Campi generati da una dinamo stellare
- 2) Le strutture magnetiche raggiungono l'inviluppo
- 3) I protoni vengono iniettati nella regione ricca di elio



Galleggiamento magnetico

- Soluzioni alle equazioni MHD (Nucci & Busso 2014):
 - → No approssimazioni numeriche (soluzione analitica esatta)
 - → Geometria semplificata: campo magnetico toroidale

Equazioni:

$$\frac{\partial \rho}{\partial t} + \nabla \cdot (\rho \mathbf{v}) = 0$$

$$\frac{\partial \mathbf{B}}{\partial t} - \nabla \times (\mathbf{v} \times \mathbf{B}) - \nu_m \Delta \mathbf{B} = 0$$

$$\rho \left[\frac{\partial \mathbf{v}}{\partial t} + (\mathbf{v} \cdot \nabla) \mathbf{v} - c_d \mathbf{v} + \nabla \Psi \right] - \mu \Delta \mathbf{v} + \nabla P + \frac{1}{4\pi} \mathbf{B} \times (\nabla \times \mathbf{B}) = 0$$

$$\rho \left[\frac{\partial \epsilon}{\partial t} + (\mathbf{v} \cdot \nabla) \epsilon \right] + P \nabla \cdot \mathbf{v} - \nabla \cdot (\kappa \nabla T) + \frac{\nu_m}{4\pi} (\nabla \times \mathbf{B})^2 = 0$$

Soluzioni:
$$v_r = v_p \left(\frac{r_p}{r}\right)^{k+1}$$
 $B_{\varphi} = B_{\varphi,p} \left(\frac{r}{r_p}\right)^{k+1}$

$$B_{arphi} = B_{arphi,p} igg(rac{r}{r_p}igg)^{\!k+1}$$



dove k è l'esponente del profilo di densità: $\rho(r) = \frac{\rho_p}{r^k} r^k$

$$\rho(r) = \frac{\rho_p}{r_p^k} r$$

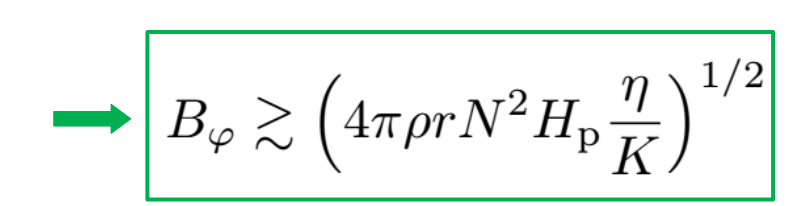
Mixing indotto dalla galleggiabilità magnetica

→ Contributo **magnetico** (Vescovi+ 2020) alla velocità di discesa \mathbf{v}_d , agente quando il profilo di densità è $\rho \propto r^k$:

$$v_d(r) = u_p \left(\frac{r_p}{r}\right)^{k+2}$$

Parametri:

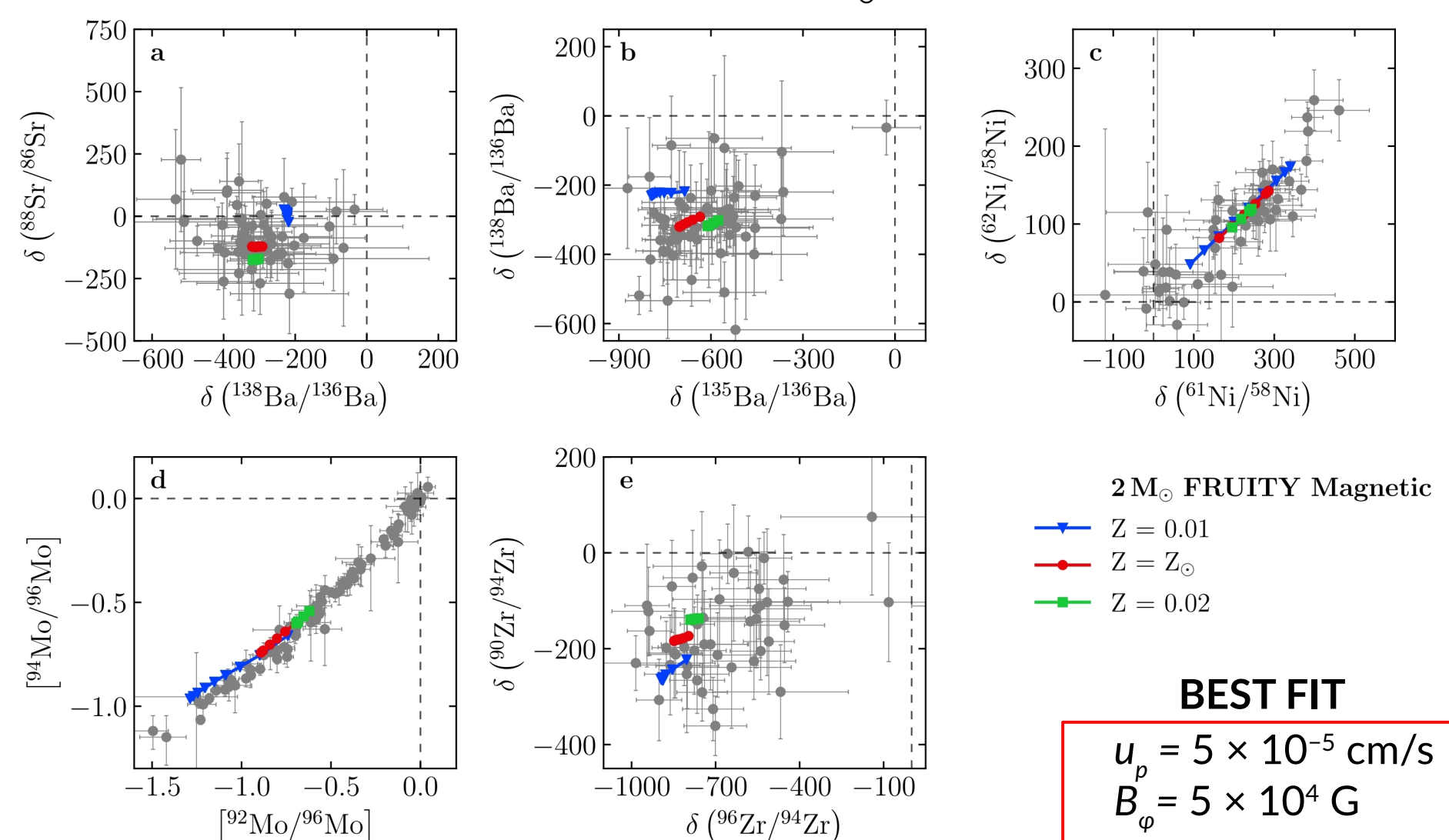
• Strato " \mathbf{p} " corrispondente alla regione più profonda da cui parte il galleggiamento (può essere identificato dal corrispondente valore del campo toroidale critico \mathbf{B}_{φ})



- Velocità iniziale u_p del materiale che galleggia
- → <u>Calibrazione</u> necessaria!
- → Vari test con una differente scelta per la coppia di variabili:
 - $u_p = 1, 3, 5, 8, 12 \times 10^{-5}$ cm/s
 - $B_{00} = 2, 5, 10, 15 \times 10^{4} \text{ G}$

Grani SiC presolari

- Rapporti isotopici misurati per Ni, Sr, Zr, Mo e Ba in grani SiC presolari
- Modelli stellari con stessa massa iniziale (2 M_{\odot}) and metallicità simil-solare



Sommario

- → Prima simulazione numerica della formazione di una tasca ¹³C indotta da un processo di mixing magnetico in un codice evolutivo stellare con nucleosintesi completamente accoppiata (FUNS)
- → Campi magnetici dell'ordine di 10⁵ G possono indurre la formazione ed il galleggiamento di tubi di flusso magnetici nella regione al di sotto dell'inviluppo convettivo di stelle AGB.
- → Tali tubi sono abbastanza veloci da garantire, attraverso la conservazione della massa, la penetrazione di numero sufficiente di protoni da formare una considerevole tasca a ¹³C
- → Unica coppia di valori per l'intensità di campo e della velocità di galleggiamento iniziale
- → I nuovi modelli magnetici forniscono una spiegazione consistente alla maggior parte dei rapporti isotopici di elementi pesanti rilevati in grani presolari provenienti da stelle AGB.